

УДК 546.41—81

## ТЕОРЕТИЧЕСКОЕ ИССЛЕДОВАНИЕ [ОПТИЧЕСКИХ СВОЙСТВ СУЛЬФИДА КАЛЬЦИЯ]

*B. C. Степанюк, A. A. Григоренко, A. B. Козлов, O. B. Фарберович,  
B. B. Михайлин, E. B. Степанова*

Произведен расчет электронной структуры и спектра мнимой части комплексной диэлектрической проницаемости  $\epsilon_2$  с учетом матричного элемента оптического перехода соединения CaS самосогласованным ЛППВ методом. Показана сильная зависимость значения матричного элемента от состояния и его существенное влияние на спектр. Учет матричного элемента и сдвиг спектра на величину  $\Delta E_g$ , представляющую из себя поправку к собственным значениям энергии теории функционала плотности, приводят к хорошему согласию теоретических и экспериментальных результатов.

Соединения типа  $A^{II}B^{VI}$  давно привлекают к себе внимание. Они обладают целым рядом физических и химических свойств, обусловливающих их применение в технике [1, 2]. Кроме того, они также являются интересным объектом изучения электронных процессов в твердых телах. Сульфид кальция известен как эффективный катодо-, рентгено- и радиолюминофор, он обладает ярким свечением при возбуждении, большой аккумулирующей способностью, яркой ИК вспышкой. В то же время электронная структура этого соединения изучена пока недостаточно. В работе [3] нами рассчитана электронная структура этого соединения и приведен спектр мнимой части комплексной диэлектрической проницаемости  $\epsilon_2$  без учета матричного элемента оптического перехода.

Так, в приближении постоянного матричного элемента традиционно (см., например, [4]) рассчитывается спектр  $\epsilon_2$ , т. е. с точностью до множителя  $\omega^{-2}$  оказывается пропорциональным комбинированной плотности состояний. Однако расчет спектра  $\epsilon_2$  меди [5] показал сильное влияние точного учета матричного элемента на спектр. Дальнейшие исследования подтвердили важность такого учета для металлов [6–11]. Для диэлектриков подобных исследований не проводилось, хотя их оптические свойства изучались весьма интенсивно как теоретически, так и экспериментально. Целью данной работы является выяснение особенностей электронной структуры и спектра  $\epsilon_2$  с учетом матричного элемента оптического перехода на основе зонного расчета линейным методом присоединенных плоских волн (ЛППВ методом).

### 1. ЛППВ расчет

CaS обладает структурой типа NaCl, пространственная группа  $O_h^5$ , параметр решетки  $a=5.697 \text{ \AA}$  [12]. Самосогласованный ЛППВ расчет проводился по 19 точкам неприводимой части зоны Бриллюэна (НЧЗБ). Самосогласование потенциала с точностью не хуже полпроцента достигнуто за 25 итераций. Точность в определении энергий не хуже 0.001 Ry. В последней итерации число точек в НЧЗБ было увеличено до 89. Исходный потенциал строился по методу Маттейса, радиусы МТ сфер оказались равными 1.44 и 1.40 Å для кальция и серы соответственно. Подробно методика расчета описана в [13].

В табл. 1 приведены значения энергии в некоторых высокосимметричных точках НЧЗБ. На рис. 1 представлены локальные парциальные плотности состояний CaS.

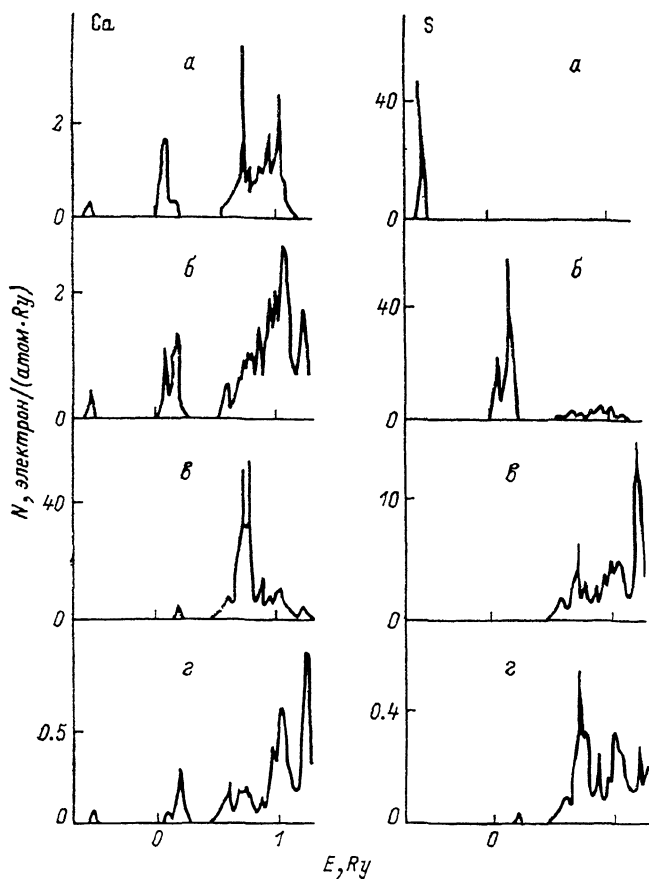


Рис. 1. Локальные парциальные плотности состояний CaS.  
l: а — 0, б — 1, в — 2, г — 3.

ности состояний. Валентная зона образована  $p$ -состояниями серы, ее ширина составляет  $E_{\Gamma_15} - E_{L_1} = 3.14$  эВ. Зона проводимости образована  $s$ - и  $d$ -состояниями как кальция, так и серы. Ширина запрещенной зоны оказалась равной  $E_{X_3} - E_{\Gamma_15} = 2.16$  эВ, прямая ширина запрещенной зоны составляет  $E_{X_3} - E_{X'_3} = 2.96$  эВ. Заданное значение ширины запрещенной зоны связано с использованием в расчетах теории функционала плотности (ТФП) [14]. Корректное описание энергий возбуждения квазичастиц возможно с помощью уравнения Дайсона с нелокальным и энергозависимым собственными-энергетическим оператором [15]. Однако приближенно поправку на нелокальность и энергозависимость можно учесть жестким сдвигом зоны проводимости по оси энергий на некоторую величину  $\Delta E$ , [15-19].

Самосогласованный расчет позволяет с достаточной точностью оценить особенности распределения заряда в системе. Электронные заряды МТ сфер кальция и серы равны 18.64 и 15.75 соответственно. Ионность можно оценить согласно [20], т. е. считать, что половина заряда в межсферной области принадлежит кальцию, а половина — сере. В этом слу-

Таблица 1  
Значения энергии  
в некоторых  
высокосимметричных  
точках зоны  
Бриллюэна

$\lambda$	$E_\lambda, \text{ Ry}$
$\Gamma_{15}$	0.245
$\Gamma_1'$	0.534
$\Gamma_{25}'$	0.561
$X_3'$	0.404
$X_5'$	0.186
$L_1$	0.015

чае кальций передает сере 0.55 заряда электрона, однако несомненно остается некоторый произвол в определении степени ионности в МТ приближении, связанный с произволом разнесения электронного заряда межсферной области.

## 2. Расчет матричного элемента оптического перехода

Мнимая часть комплексной диэлектрической проницаемости рассчитывалась по формуле [4]:

$$\epsilon_2(\omega) = \left(4\pi^2 e^2 / m^2 \omega^2\right) \sum_{\lambda, \lambda' \text{ з. Б.}} \int \frac{2dk}{(2\pi)^3} |\mathbf{e} \mathbf{p}_{\lambda\lambda'}(\mathbf{k})|^2 \delta(E_{\lambda'}(\mathbf{k}) - E_{\lambda}(\mathbf{k}) - \hbar\omega), \quad (1)$$

где  $\omega$  — частота;  $e$  — заряд электрона;  $m$  — его масса;  $\lambda, \lambda'$  — индексы состояний валентной зоны и зоны проводимости соответственно; з. Б. обозначает зону Бриллюэна;  $\mathbf{k}$  — волновой вектор;  $\mathbf{e}$  — вектор поляризации электромагнитной волны,

$$\mathbf{e} \mathbf{p}_{\lambda\lambda'}(\mathbf{k}) = \langle \mathbf{k} | \mathbf{e} \hat{\mathbf{p}} | \mathbf{k}' \rangle, \quad (2)$$

$\hat{\mathbf{p}}$  — оператор импульса;  $|\mathbf{k}\lambda\rangle, |\mathbf{k}\lambda'\rangle$  — состояния валентной зоны и зоны проводимости с энергией

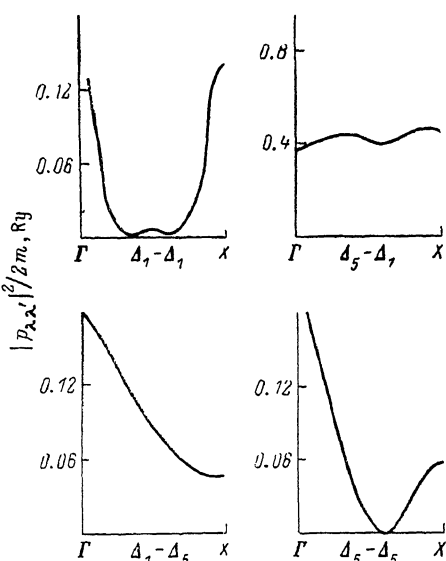


Рис. 2. Зависимость квадрата модуля матричного элемента импульса от  $\mathbf{k}$  вдоль оси  $\Delta$  для некоторых переходов.

ями  $E_{\lambda}(\mathbf{k})$  и  $E_{\lambda'}(\mathbf{k})$  соответственно;  $\delta(x)$  —  $\delta$ -функция Дирака;  $\hbar$  — постоянная Планка. В рамках ЛППВ метода волновые функции кристалла представляются в виде

$$\Psi_{k\lambda}(\mathbf{r}) = \sum_i a_i^{\lambda} \psi_{k_i}(\mathbf{r}),$$

$$\psi_{k_i}(\mathbf{r}) = \begin{cases} (1/\sqrt{\Omega_0}) \exp(i\mathbf{k}\mathbf{r}), & r > R_s, \\ (4\pi R_s^2/\sqrt{\Omega_0}) \exp(i\mathbf{k}\tau_s) \sum_{l, m} i^l [a_{sl} R_{sl}(E_{sl}, r) + \\ + b_{sl} \dot{R}_{sl}(E_{sl}, r)] Y_{lm}^*(\hat{\mathbf{k}}_i) Y_{lm}(\hat{\mathbf{r}}), & r \leq R_s, \end{cases} \quad (3)$$

где  $\mathbf{k}_i = \mathbf{k} + \mathbf{G}_i$ ;  $\mathbf{G}_i$  — вектор обратной решетки;  $\Omega_0$  — объем элементарной ячейки;  $r > R_s$  обозначает межсферную область;  $R_s$  — радиус  $s$ -й МТ сферы;  $\tau_s$  — положение  $s$ -го атома в элементарной ячейке;  $l, m$  — квантовые числа;  $a_{sl}, b_{sl}$  — коэффициенты, определяемые из условия непрерывности волновых функций на границе МТ сферы;  $R_{sl}(E_{sl}, r)$  — радиальная волновая функция в  $s$ -й МТ сфере, рассчитанная при энергии  $E_{sl}$  (точка обозначает дифференцирование по энергии);  $Y_{lm}(\hat{\mathbf{k}}_i), Y_{lm}(\hat{\mathbf{r}})$  — сферические гармоники. При этом матричный элемент импульса  $\langle \mathbf{k} \lambda |$

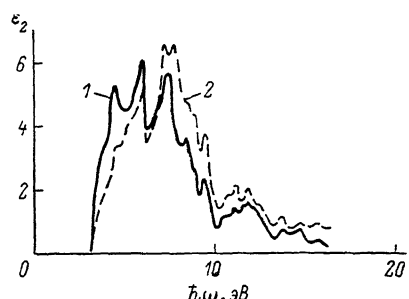


Рис. 3. Спектры  $\epsilon_2$ , полученные с учетом (1) и без учета (2) матричного элемента.

$\times |\hat{p}| k\lambda' \rangle$  удастся свести к сумме двух вкладов: от межсферной области и от МТ сфер. Вклады выражаются через суммы интегралов от радиальных волновых функций МТ сфер.

Таблица 2  
Значения квадрата модуля матричного элемента  
для некоторых переходов

$\lambda-\lambda'$	$E_{\lambda'}-E_{\lambda}$ , эВ	$ P_{\lambda\lambda'} ^2/2m$ , Ry	$\lambda-\lambda'$	$E_{\lambda'}-E_{\lambda}$ , эВ	$ P_{\lambda\lambda'} ^2/2m$ , Ry
$\Gamma_{15}-\Gamma_1$	3.924	0.548	$X'_5-X_1$	8.122	0.017
$\Gamma_{15}-\Gamma'_{25}$	4.292	0.532	$X'_4-X_1$	8.598	0.141
$\Gamma_{15}-\Gamma_{12}$	5.230	0.697	$X'_4-X_5$	9.524	0.045
$X'_5-X_3$	2.962	0.264	$X'_4-X_1$	9.687	0.164
$X'_5-X_2$	6.925	0.275	$L_3-L'_2$	5.905	0.385
$X'_5-X_1$	7.034	0.423	$L_1-L'_2$	7.959	0.044
$X'_5-X_5$	7.945	0.058			

Матричные элементы для некоторых переходов приведены в табл. 2. На рис. 2 представлены зависимости квадрата модуля матричного элемента импульса от волнового вектора вдоль оси  $\Delta$  для некоторых переходов. Видна сильная зависимость значения матричного элемента импульса от состояния. Довольно резкое уменьшение вероятности переходов  $\Delta_1-\Delta_1$ ,  $\Delta_1-\Delta_5$  и  $\Delta_5-\Delta_5$  при удалении от точки  $\Gamma$  приводит к сильной модуляции спектра  $\epsilon_2$  (рис. 3).

### 3. Расчет спектра $\epsilon_2$ .

На рис. 3 приведены спектры  $\epsilon_2$  с учетом матричного элемента и без учета: для удобства сравнения спектр во втором случае нормирован так, чтобы

$$\epsilon(0) = 1 + (2/\pi) \int_0^{\infty} d\omega \epsilon_2(\omega)/\omega \quad (4)$$

имело одно и то же значение ( $\sim 4.17$ ) для обоих спектров. В целом влияние матричного элемента на спектр  $\epsilon_2$  оказывается, во-первых, в сильном изменении формы и относительных амплитуд пиков, во-вторых, в увеличении интенсивности поглощения в низкоэнергетической области (край

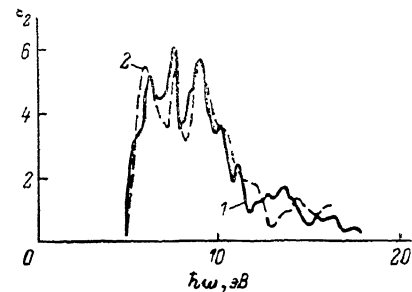


Рис. 4. Спектры  $\epsilon_2$ .

1 — полученный сдвигом рассчитанного на  $\Delta E_g = 1.75$  эВ; 2 — экспериментальный [2].

фундаментального поглощения становится более резким) с ее одновременным уменьшением в высокоэнергетической области при сохранении всех основных особенностей спектра.

Переходы начинаются в  $X$ -точке при энергии фотонов  $\hbar\omega=2.96$  эВ. Плечо при 4.1 эВ образовано началом переходов в  $\Gamma$ -точке. При 4.35 эВ основной вклад в поглощение вносят переходы  $\Gamma_{15}-\Gamma'_{25}$ ,  $\Delta_3-\Delta_1$ ,  $\Sigma_4-\Sigma_1$  и  $\Delta_5-\Delta'_2$  вблизи  $\Gamma$ -точки. Пик 5.85 эВ образован переходами  $L_3-L'_2$ ,  $Q_1-Q_2$  и другими вблизи  $L$ -точки. Пик 7.35 эВ сформирован переходами на плоскости  $\Gamma X W K$ . Структура в области 12 эВ соответствует переходам  $W_1-W_3$ ,  $W_1-W'_2$ ,  $\Delta_5-\Delta_5$  и  $\Sigma_4-\Sigma_1$ .

На рис. 4 представлены теоретический спектр, полученный сдвигом рассчитанного на  $\Delta E_0 = 1.75$  эВ, и экспериментальный спектр [21]. Сдвиг определялся из условия совпадения пиков 7.6 эВ. Энергетические положения остальных пиков также совпадают, провал при 13 эВ в теоретическом спектре находится на 1 эВ ниже по энергии, чем в экспериментальном. Отношение амплитуд в теоретическом спектре для пиков 5.8, 7.6 и 8.8 эВ составляет  $5.30 : 6.34 : 5.76 = 0.84 : 1 : 0.91$ , а в экспериментальном  $5.5 : 5.4 : 5.4 - 1.02 : 1 : 1$ . Для провалов между пиками такие же соотношения составляют  $4.44 : 3.47 - 1.28 : 1$  и  $3.5 : 3.0 - 1.2 : 1$ .

Характерной особенностью теоретического спектра является завышение амплитуды пиков 7.6 и 8.8 эВ и занижение как амплитуды, так и ширины пика 5.8 эВ. Включение в расчет экситонных эффектов скорее всего приведет к увеличению площади под первым пиком (5.8 эВ) и уменьшению амплитуды второго и третьего пиков (7.6 и 8.8 эВ), так как по правилу сумм, вытекающему из основных положений квантовой механики, сумма сил осцилляторов равна единице и не может увеличиться при учете экситонных эффектов.

Итак, зонный расчет соединения CaS самосогласованным ЛППВ методом показал, что: 1) валентная зона образована  $p$ -состояниями серы; 2) зона проводимости образована  $s$ - и  $d$ -состояниями как кальция, так и серы; 3) ширина запрещенной зоны определяется разностью энергий  $\Gamma_{15}$ -состояния валентной зоны и  $X_3$ -состояния зоны проводимости. На основании сравнения спектров  $\epsilon_2$ , рассчитанных с учетом и без учета матричного элемента оптического перехода, и экспериментального можно заключить, что: 1) учет матричного элемента оптического перехода существенно сказывается на спектре  $\epsilon_2$ ; 2) сдвиг рассчитанного спектра на  $\Delta E_0$  позволяет приблизенно учесть поправки к собственным значениям энергии ТФП и приводит его в хорошее согласие с экспериментальным спектром.

#### Л и т е р а т у р а

- [1] Соболев В. В. Зоны и экситоны соединений группы  $A^{II}B^{VI}$ . Кипшинев, 1980. 256 с.
- [2] Физика соединений  $A^{II}B^{VI}$  / Под ред. А. Н. Георгиани и М. К. Шеймкмана. М., 1986. 320 с.
- [3] Слепанова Е. В., Степанюк В. С., Власов С. В. и др. // Изв. вузов. 1988. Т. 31, № 7. С. 82—86.
- [4] Ф. Бассани, Пастори Парравичини Дж. Электронные состояния и оптические переходы в твердых телах. М., 1982. 392 с.
- [5] Janack J. F., Williams A. R., Moruzzi V. L. // Phys. Rev. B. 1975. V. 11. N 4. P. 1522—1536.
- [6] Petroff I., Viswanathan C. R. // Phys. Rev. B. 1971. V. 4. N 3. P. 799—816.
- [7] Rowe J. E., Smith N. V. // Phys. Rev. B. 1974. V. 10, N 8. P. 3207—3212.
- [8] Sagurton M., Shevchik N. J. // Phys. Rev. B. 1978. V. 17. N 10. P. 3859—3866.
- [9] Shevchik N. J., Liebowitz D. // Phys. Rev. B. 1978. V. 18. N 4. P. 1618—1629.
- [10] Smith N. V. // Phys. Rev. B. 1979. V. 19. N 10. P. 5019—5027.
- [11] Рашкеев С. Н., Успенский Ю. А., Мазин И. И. // ЖЭТФ. 1985. Т. 88. С. 1687—1698.
- [12] Бельский А. Н. // Автореф. канд. дис. М., 1986. 158 с.
- [13] Фарберович О. В. // Автореф. докт. дис. Воронеж, 1984. 282 с.
- [14] Мазин И. И., Максимов Е. Г., Саврасов С. Ю., Успенский Ю. А. // ФТТ. 1987. Т. 29, № 9 С. 2629—2637.
- [15] Hybersten M. S., Louie S. G. // Phys. Rev. B. 1986. V. 34. N 8. P. 5390—5414.
- [16] Godby R. W., Schlüter M., Sham L. J. // Phys. Rev. Lett. 1986. V. 56. N 22. P. 2415—2418.
- [17] Godby R. W., Schlüter M., Sham L. J. // Phys. Rev. B. 1987. V. 35. N 8. P. 4170—4171.
- [18] Godby R. W., Schlüter M., Sham L. J. // Phys. Rev. B. 1987. V. 36. N 12. P. 6497—6500.
- [19] Alouani M., Brey L., Christensen N. E. // Phys. Rev. B. 1988. V. 37. N 3. P. 1167—1179.
- [20] Слэтер Дж. Методы самосогласованного поля для молекул и твердых тел. М., 1978. 662 с.
- [21] Kaneko Y., Morimoto K., Koda T. // J. Phys. Soc. Jap. 1983. V. 52. N 12. P. 4385—4396.